

## Сравнительная оценка эффективности дроссельного регулирования пневмоприводов

*А.А. Грибалев, студент*

*Россия, 105005, г. Москва, МГТУ им. Н.Э. Баумана,  
кафедра «Гидромеханика, гидромашины, и гидропневмоавтоматика»  
[alex-gr88@yandex.ru](mailto:alex-gr88@yandex.ru)*

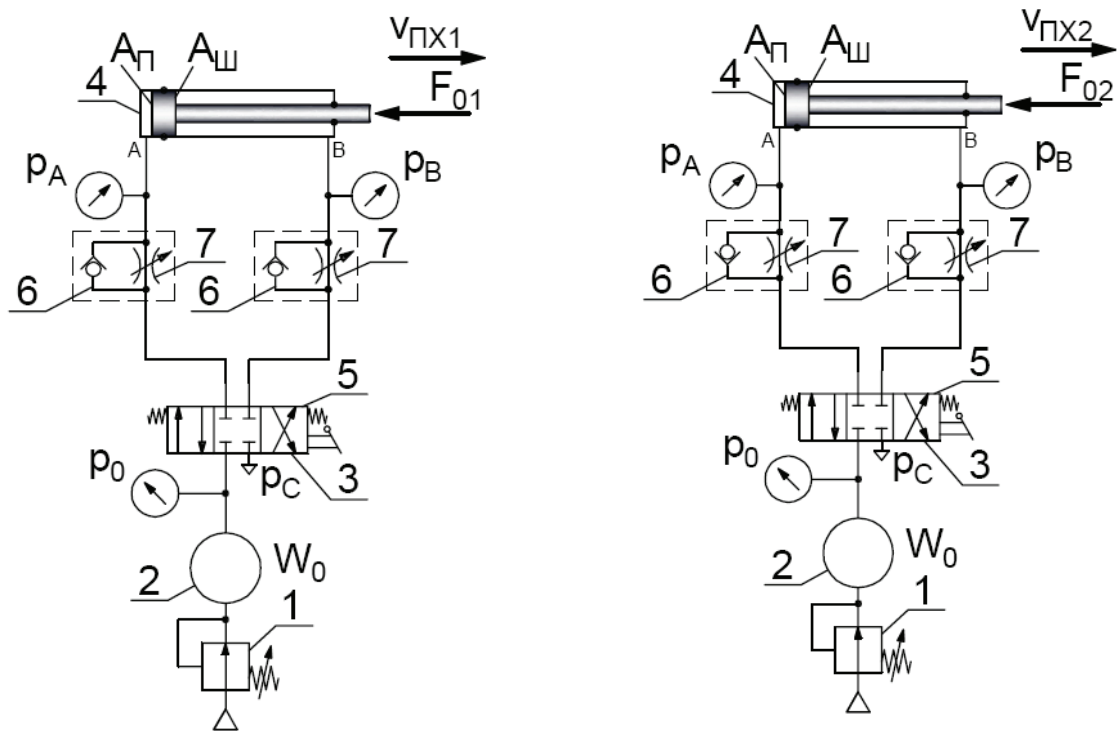
*В.А. Труханов, студент*

*Россия, 105005, г. Москва, МГТУ им. Н.Э. Баумана,  
кафедра «Гидромеханика, гидромашины, и гидропневмоавтоматика»  
[v\\_truhanov@mail.ru](mailto:v_truhanov@mail.ru)*

*Научные руководители: Пильгунов В.Н., к.т.н., доцент; К.Д. Ефремова, к.т.н., доцент  
Россия, 105005, г. Москва, МГТУ им. Н.Э. Баумана,  
кафедра «Гидромеханика, гидромашины, и гидропневмоавтоматика»  
[averina@power.bmstu.ru](mailto:averina@power.bmstu.ru)*

### **Введение**

В пневмоприводах с возвратно-поступательным движением выходного звена исполнительного двигателя (пневмоцилиндра двухстороннего действия с односторонним штоком) прямой и обратный ход поршня имеют разные скоростные и динамические характеристики. Скорость движения выходного звена определяется объемным расходом сжатого воздуха и геометрией исполнительного двигателя. В *дроссельном* способе регулирования объемный расход сжатого воздуха, поступающего в полости пневмоцилиндра, регулируется изменением площади проходного сечения рабочей щели дросселя. В пневмоприводах наиболее часто используется источник питания постоянного давления  $p_0 = inv$ , Па, что достигается совместной работой компрессора, редукционного клапана и ресивера достаточно большой емкости. В зависимости от месторасположения дросселя различают схемы *первичного* регулирования (дроссель установлен в подводящей линии исполнительного двигателя) и *вторичного* регулирования (дроссель установлен в линии сброса исполнительного двигателя), рис. 1.



а) схема первичного регулирования

б) схема вторичного регулирования

Рис. 1. Дроссельное регулирование пневмопривода

Условно постоянное давление  $p_0 \approx inv$  в ресивере 2 с объемом  $W_0, \text{ м}^3$  поддерживается редукционным клапаном 1. При рассмотрении энергетических характеристик двух способов регулирования применим следующие допущения:

- абсолютное давление в линии сброса распределителя 5 принимается равным атмосферному;
- абсолютное давление на выходе ресивера 2 принимается постоянным  $p_0 = inv$ ;
- гидравлические сопротивления рабочих щелей распределителя и обратных клапанов 6 малы, по сравнению с гидравлическим сопротивлением дросселей 7.

Принято считать, что схема регулирования методом подпора на сбросе исполнительного двигателя предпочтительнее схемы установки дросселя в подводящей линии в силу ряда причин:

- подпор на сбросе, обеспечивающий повышенное давление в полости выхлопа исполнительного двигателя делает привод более жестким и обеспечивает плавное движение выходного звена;
- выделяемое в дросселе тепло, обусловленное процессом теплообмена, отводится непосредственно в атмосферу и не вызывает дополнительный нагрев исполнительного двигателя;

– подпор на сбросе предотвращает аварийные ситуации при несанкционированной смене знака нагрузки на штоке.

При расчете энергетических характеристик пневмопривода с дроссельным регулированием неизбежны трудности, обусловленные:

- течением сжатого воздуха в дросселях;
- особенностями заполнения пневматической емкости переменного объема (полость высокого давления пневмоцилиндра);
- особенностями опорожнения пневматической емкости переменного объема (полость выхлопа пневмоцилиндра);
- одновременным заполнением и опорожением пневматической емкости постоянного объема (ресивера);
- влиянием температуры окружающей среды на процессы движения сжатого воздуха в узких каналах дросселирующих устройств, точностью позиционирования и удержания нагрузки.

Связь между параметрами газа и их взаимосвязанными изменениями определяется свойствами термодинамических процессов. В пневмоприводах общепромышленного применения давление сжатого воздуха, в соответствии с нормами техники безопасности, не должно превышать  $p_0 \leq 1$  МПа. Для удельного объема сжатого воздуха  $V_m = V / m = 1 / \rho$ ,  $\text{м}^3 \cdot \text{кг}^{-1}$ , где  $m$ , кг – масса воздуха объемом  $V$ ,  $\text{м}^3$ ;  $\rho_0$ ,  $\text{кг} \cdot \text{м}^{-3}$  – плотность воздуха, которая существенно зависит от абсолютного давления, уравнение Менделеева-Клайперона имеет вид:

$$pV_m = RT, \quad (1)$$

где  $R$ ,  $\text{Дж} \cdot \text{кг}^{-1} \cdot \text{К}^{-1}$  – газовая постоянная, равная работе расширения единицы массы газа при его нагревании на 1 К в условиях постоянного давления  $dp=0$  (для осушенного воздуха  $R_B=287$ );  $T$ , К – абсолютная температура. Общее уравнение термодинамического процесса изменения состояния газа имеет вид:

$$dQ = dE + dA, \quad (2)$$

где  $dQ$  – подводимая к массе газа  $m$  теплота;  $dE$  – изменение внутренней энергии в объеме газа  $V$ ;  $dA$  – внешняя работа, совершаемая газом при его расширении. Приводя слагаемые уравнения (2) к единице массы  $m$ :  $dq = dQ / m$ ;  $de = dE / m$ ;  $da = dA / m$ , получим общий вид уравнения термодинамического процесса:

$$dq = de + da. \quad (3)$$

Поршень пневмоцилиндра совершает полезную работу по преодолению нагрузки  $dA > 0$ . Рассмотрим частный случай решения общего уравнения тепломассообмена (3).

1) *Изотермический процесс.*

Подводимая теплота в условиях постоянства температуры  $dT=0$  вызывает увеличение объема воздуха  $V$ , при этом поршень пневмоцилиндра на пути  $dx$  совершает полезную работу  $da>0$  против сил  $F_0$ ,  $F_{\Pi}$  и  $F_{Ш}$ , где  $F_0$  – нагрузка на штоке;  $F_{\Pi}$  и  $F_{Ш}$ , соответственно, силы трения в уплотнениях поршня и штока. Уравнение состояния газа (1) принимает вид:

$$p_1 V_{m1} = p_2 V_{m2} = inv. \quad (4)$$

или с учетом соотношения  $V_m = 1/\rho$ ,

$$p_1 / \rho_1 = p_2 (\rho_2), \text{ закон Бойля-Мариотта.} \quad (5)$$

Изотермический процесс происходит в условиях активного теплообмена массы воздуха с окружающей средой или при малой скорости изменения объема  $V$ , что соответствует малому значению производной  $dx/dt$ . Для пневматической емкости постоянного объема (ресивера) этот режим имеет место при ее медленном заполнении или опорожнении, или если объем емкости  $W_0$  достаточно большой.

2) *Изобарический процесс.*

Этот процесс происходит при постоянной нагрузке  $F_0=inv$ , например, в случае преодоления силы тяжести  $F_0=mg$ . Процесс связан с совершением поршнем внешней работы и изменением внутренней энергией воздуха. Слагаемые уравнения (3) принимают вид:  $dq = C_p dT$ ;  $de = C_v dT$ ;  $da = pdV_m$ , а само уравнение принимает вид:

$$(C_p - C_v) dT = pdV_m, \quad (6)$$

где  $C_p$ , Дж·кг<sup>-1</sup>·К<sup>-1</sup> – удельная теплоемкость воздуха, если его нагревание происходило при постоянном давлении  $dp=0$ ;  $C_v$ , Дж·кг<sup>-1</sup>·К<sup>-1</sup> – удельная теплоемкость воздуха, если его нагревание происходило при постоянном объеме  $dV=0$ , При этом справедливо равенство  $R = C_p - C_v$  и уравнение состояния газа в дифференциальной форме принимает вид:

$$pdV_m = RdT, \text{ или } da = RdT. \quad (7)$$

После интегрирования получаем значение произведенной работы по преодолению сопротивления внешней силы:

$$a = R \int_{T_1}^{T_2} dT = R(T_2 - T_1), \quad (8)$$

откуда  $R = a/(T_2 - T_1)$ , что соответствует физической сущности газовой постоянной  $R=inv$ . Уравнение состояния принимает вид:

$$V_{m1}/V_{m2} = T_1/T_2, \rho_2/\rho_1 = T_1/T_2, \text{ закон Гей-Люссака} \quad (9)$$

### 3) Адиабатический процесс.

В этом процессе отсутствует теплообмен с окружающей средой  $dQ=0$  и уравнение (3) принимает вид:

$$da = -de, \text{ или } pdV_m = -C_v dT. \quad (10)$$

После преобразований, с учетом равенства  $R = C_p - C_v$  и введя показатель адиабаты  $k = C_p / C_v$ , получим уравнение состояния в виде:

$$kdV_m / V_m = -dp / p. \quad (11)$$

Необходимо отметить, что совершение внешней работы в адиабатическом процессе происходит при переменном давлении. После интегрирования уравнения (10) и последующих преобразований получаем уравнение состояния:

$$p_1 V_{m1}^k = p_2 V_{m2}^k = p V_m^k = \text{inv}. \quad (12)$$

### 4) Политропический процесс.

Этот процесс максимально приближен к реальному, протекающему не изолировано от окружающей среды с частичным теплообменом. Уравнение состояния (3) принимает вид:

$$C_{\Pi} dT = C_v dT + pdV_m. \quad (13)$$

и учитывает удельную теплоемкость  $C_{\Pi}$  в политропическом процессе. Подставляя изменение температуры  $dT = pdV_m / V_m + V_m dp / p$ , получаем уравнение, сходное с адиабатическим процессом  $[(C_p - C_{\Pi}) / (C_v - C_{\Pi})] \cdot (dV_m / V_m) + dp / p = 0$  или, после преобразований:

$$ndV_m / V_m = -dp / p, \quad (14)$$

где  $n = (C_p - C_{\Pi}) / (C_v - C_{\Pi})$  – показатель политропы. Схожесть по форме уравнений (14) и (11) позволяет представить уравнение состояния воздуха в политропическом процессе в форме Менделеева-Клайперона, путем замены показателя адиабаты  $k$  на показатель политропы  $n$ :

$$pV_m^n = RT. \quad (15)$$

Величина  $C_{\Pi}$  зависит от интенсивности теплообмена с окружающей средой и определяется экспериментально.

### 5) Термодинамические процессы в условиях теплообмена.

Непостоянство массы в пневматической емкости вызывает нестационарность термодинамических процессов. В работе [2] представлен физический смысл процесса и <http://sntbul.bmstu.ru/doc/568308.html>

показано, что в условиях тепломассообмена уравнение баланса энергий (3) принимает вид:

$$dq_m = dq + q_1 dm_1 / m = de + da + q_2 dm_2 / m, \quad (16)$$

где  $q_1$  и  $q_2$ , соответственно, удельная теплота входящей  $dm_1$  и выходящей  $dm_2$  массы воздуха;  $dq_m$  – приращение удельной тепловой энергии при тепломассообмене. Как показано в работе [3]:

$$dq_m = dq + (I_1 - ke)dm_1 / m, \quad (17)$$

где  $I_1$  – удельное теплосодержание (энтальпия) входящей массы, вычисляется по формуле  $I = e - pV_m$ . В уравнении (16) совершенная поршнем удельная работа  $da = pdV_m$  или, с учетом  $V_m = V / m$  и  $dV_m = A_{\Pi} dx / m - V_m dm / m$ ,

$$da = pA_{\Pi} dx / m - pV_m dm / m. \quad (18)$$

С учетом ранее принятых значений  $de = C_v / dT$ ;  $k = C_p / C_v$ ;  $R = C_p - C_v$ ;  $k - 1 = R / C_v$ ;  $R = C_v (k - 1)$ ;  $pV_m = RT$ , получаем равенство  $pV_m = e(k - 1)$  и выражение (18) принимает вид:

$$da = pdV_m = pA_{\Pi} dx / m - e(k - 1)dm / m. \quad (19)$$

Если ввести понятие массового расхода воздуха  $G = dm / dt$  и  $q_a = dq_m / d_a$ , то после умножения на массу  $m$  из (19) получаем выражение:

$$q_a = \frac{dQ / dt + (I_1 - ke)G_1}{pA_{\Pi} dx / dt - e(k - 1)(G_1 - G_2)}. \quad (20)$$

Член  $pA_{\Pi} dx / dt$  в уравнении (20) представляет собой механическую мощность термодинамического процесса в условиях тепломассообмена, а член  $dQ / dt$  – секундное изменение подводимой теплоты.

Режим истечения воздуха как реального газа из емкости через дросселирующее устройство с потерей энергии рассмотрено в работе [2]. Получено выражение для определения массового расхода воздуха через дросселирующее устройство:

$$G = \mu A_{\text{др}} p_1 \sqrt{\frac{2n \left( \beta^{\frac{2}{n}} - \beta^{\frac{n+1}{n}} \right)}{RT_1 (n - 1) \left( 1 - S^2 \beta^{\frac{2}{n}} \right)}}. \quad (21)$$

Входящие в уравнение (21) величины обозначают:

$\mu = 0,61 \div 0,64$  – коэффициент расхода рабочей щели дросселя с проходным сечением  $A_{\text{др}}$ ;  
 $p_1, \text{ Па}$  – давление воздуха на входе в дроссель;

$n$  – показатель политропы ( $1 < n < 1,4$ );

$R$  – газовая постоянная воздуха;

$T_1$  – температура воздуха на входе в дроссель;

$S = A_{др}/A_0$ , где  $A_{др}$  и  $A_0$ , соответственно, площадь рабочей щели дросселя и характерного сечения ресивера;

$\beta = p_2 / p_1$  – безразмерное (относительное) давление, которое рассматривается как *показатель критичности* процесса истечения воздуха через рабочую щель дросселя в газовую среду с давлением  $p_2$ .

Наибольшее значение массовый расход (21) принимает при критическом значении показателя критичности  $\beta_{кр} = \left(\frac{2}{n+1}\right)^{\frac{n}{n-1}}$ : для  $n=1,4$   $\beta_{кр}=0,528$ ; для ( $1 < n < 1,4$ ),  $\beta_{кр}=0,574$ . В

адиабатическом процессе значения  $\beta < \beta_{кр}=0,528$  определяют режим *надкритического* истечения воздуха через дросселирующую щель, при котором  $G = G_{наиб}$ ; значения  $0,528 < \beta < 0,83$  характеризуют режим *докритического* истечения; при  $\beta > 0,83$  процесс истечения приближается к режиму истечения несжимаемой капельной жидкости.

В целях упрощения формы зависимости (21) вводится понятие *проводимости* дросселя  $Z_{др}$ :

$$Z_{др} = \mu A_{др}, \quad (22)$$

и *параметра* истечения  $k_\beta$ :

$$k_\beta = \sqrt{\frac{2n \left( \beta^{\frac{2}{n}} - \beta^{\frac{n+1}{n}} \right)}{RT_0 (n-1) \left( 1 - S^2 \beta^{\frac{2}{n}} \right)}}, \quad (23)$$

который учитывает термодинамические свойства воздуха  $R$ , его температуру на входе в дроссель  $T_0$ , характер термодинамического процесса (показатель политропы  $n$ ) и при  $S \rightarrow 0$  принимает значения:

$$k_\beta = \sqrt{\frac{2n \left( \beta^{\frac{2}{n}} - \beta^{\frac{n+1}{n}} \right)}{RT_0 (n-1)}}. \quad (24)$$

После введения значений  $Z_{др}$  и  $k_\beta$ , уравнение (21) принимает вид:

$$G_{др} = Z_{др} k_\beta p_1. \quad (25)$$

График зависимости  $k_\beta = k_\beta(\beta)$  для различных значений показателей политропы  $n$  представлены на рис. 2.

<http://sntbul.bmstu.ru/doc/568308.html>

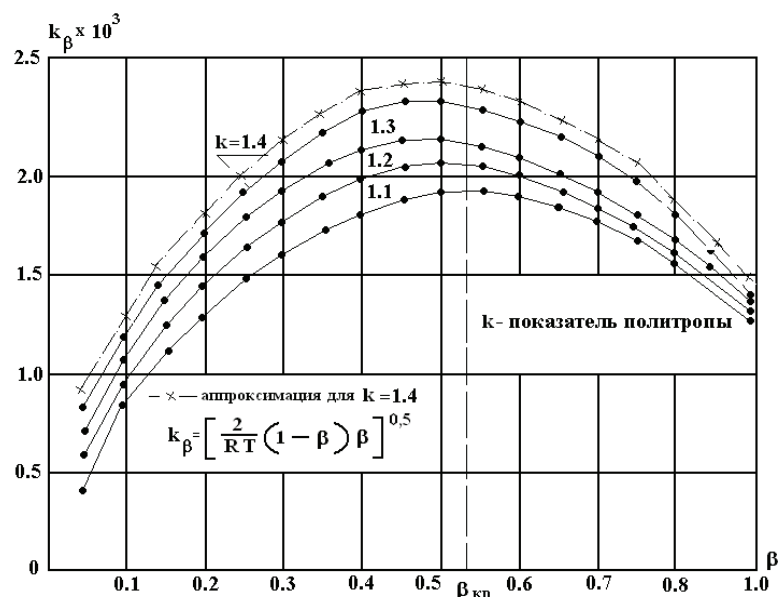


Рис. 2 Зависимость параметра истечения  $k_\beta$  от показателя критичности  $\beta$

Выполним сравнительный анализ энергетических характеристик пневмоприводов с *первичным* и *вторичным* дроссельным регулированием на *прямом* ходе пневмоцилиндра.

### 1. Первичное регулирование

Этот способ дроссельного регулирования скорости движения выходного звена представлен на рис. 1а. Рассмотрим прямой ход поршня, преодолевающего нагрузку  $F_1$  и силы трения в уплотнениях поршня и штока,  $F_{П1}$ ,  $F_{Ш1}$ . Скорость прямого хода поршня  $V_{ПХ1}$  связана с объемным расходом соотношением:

$$Q_{нд1} = V_{ПХ1} A_{П}, \quad (26)$$

где  $A_{П}$ ,  $m^2$  – площадь поршня.

Дифференциальное уравнение, характеризующее процесс заполнения полости высокого давления пневмоцилиндра через рабочую щель дросселя при равномерном движении поршня  $V_{ПХ1} = inv$  представлено в работе [1]:

$$\frac{x_0}{RT_A \rho_A} \cdot d(F_1 + A_{Ш} p_B) + A_{П} dx = \frac{z_{др1} k_{\beta1} p_0}{\rho_A} \cdot dt, \quad (27)$$

где  $x_0$  – начальное положение поршня. Если принять  $F_1 = inv$ , и  $p_B = p_{ат} = inv$ , с учетом равенства  $dx/dt = V_{ПХ1}$ , то уравнение (27) примет вид:

$$V_{ПХ1} A_{П} = Q_{др1} = \frac{z_{др1} k_{\beta1} p_0}{\rho_A}. \quad (28)$$

где  $Z_{ДР1}$  – проводимость дросселя в первичном регулировании (22);  $p_0$ , Па – давление на входе в дроссель;  $\rho_A$  – плотность воздуха в поршневой полости пневмоцилиндра;  $k_{\beta 1}$  – параметр истечения воздуха через дроссель в поршневую полость (23).

Входящий в выражение параметра истечения показатель критичности имеет значение:

$$\beta_1 = p_A / p_0 = \frac{F_1 + F_{\Pi 1} + F_{\text{ш1}}}{A_{\Pi} p_0}, \quad (29)$$

следовательно, в выражении  $k_{\beta 1}$  присутствует давление  $p_0$ . Решая уравнение (28) относительно  $p_0$ , получим в неявной форме зависимость давления на входе в дроссель от скорости движения поршня  $V_{\Pi X1}$  и нагрузки  $F_1$  при *первичном* способе регулирования:

$$p_0 = \frac{V_{\Pi X1} A_{\Pi} \rho_A}{Z_{ДР1} k_{\beta 1}}, \quad (30)$$

при этом гидравлическая мощность компрессорной установки с учетом равенства (26) оценивается выражением:

$$N_{K1} = p_0 Q_{\text{нд1}} = \frac{V_{\Pi X1}^2 A_{\Pi}^2 \rho_A}{Z_{ДР1} k_{\beta 1}}. \quad (31)$$

Необходимо отметить, что в выражении параметра истечения  $k_{\beta 1}$  (24) присутствует показатель политропы  $n$ , следовательно мощность компрессора будет определяться характером термодинамического процесса изменения состояния газа. С учетом равенства  $V_{\Pi X1} A_{\Pi} = Q_{K1}$  эффективность первичного регулирования скорости движения выходного звена будет оценивать КПД  $\eta_1$ :

$$\eta_1 = \frac{F_1 V_{\Pi X1}}{N_{K1}} = \frac{F_1 Z_{ДР1} k_{\beta 1}}{Q_{K1} A_{\Pi} \rho_A}, \quad (32)$$

где  $Q_{K1}$  – объемная подача компрессорной установки.

## 2. Вторичное регулирование

Этот способ дроссельного регулирования скорости движения выходного звена представлен на рис.1б. как и прежде, рассмотрим прямой ход поршня, преодолевающего нагрузку  $F_2$  и силы трения в уплотнениях поршня и штока  $F_{\Pi 2}$  и  $F_{\text{ш2}}$ . В работе [2] представлено уравнение, определяющее процесс *опорожнения* штоковой полости пневмоцилиндра через рабочую щель дросселя при равномерном движении поршня  $V_{\Pi X2} = \text{inv}$ . Уравнение учитывает баланс массы воздуха, вытесняемой поршнем из штоковой

полости пневмоцилиндра, и массы воздуха, выходящей из полости переменного объема через дроссель:

$$\frac{x_0}{RT_B \rho_{ат}} d(A_{II} p_A - F_2) + A_{III} dx = \frac{Z_{др2} k_{\beta 2} p_B}{\rho_{ат}} dt, \quad (33)$$

где давление в штоковой полости, с учетом  $p_A = p_0$ ,

$$p_B = \frac{p_0 A_{II} - (F_2 + F_{II2} + F_{III2})}{A_{III}}. \quad (34)$$

Принимая  $F_2 = inv$  и после деления на  $dt$  уравнение (34) принимает вид:

$$V_{II \times 2} A_{III} = Q_{др2} = \frac{Z_{др2} k_{\beta 2} p_B}{\rho_{ат}}, \quad (35)$$

где  $Z_{др2}$  – проводимость дросселя во вторичном регулировании;  $\rho_{ат}$  – плотность воздуха на сбросе в атмосферу;  $k_{\beta 2}$  – параметр истечения воздуха через дроссель в атмосферу (24).

Входящий в выражение параметра истечения  $k_{\beta 2}$  показатель критичности имеет значение:

$$\beta_2 = \frac{p_{ат}}{p_B} = \frac{p_{ат} A_{III}}{p_0 A_{II} - F_2 - F_{II2} - F_{III2}}, \quad (36)$$

следовательно, в выражении  $k_{\beta 2}$  присутствует давление  $p_0$ . Решая уравнение (35) относительно  $p_0$ , получим в неявной форме зависимость давления на входе в поршневую полость пневмоцилиндра от скорости движения поршня  $V_{II \times 2}$  и нагрузки  $F_2$  при вторичном способе регулирования:

$$p_0 = \frac{V_{II \times 2} A_{III}^2 \rho_{ат}}{A_{II} Z_{др2} k_{\beta 2}} + \frac{F_2 + F_{II2} + F_{III2}}{A_{II}}, \quad (37)$$

а гидравлическая мощность компрессорной установки с учетом равенства (26):

$$N_{K2} = \frac{V_{II \times 2}^2 A_{III}^2 \rho_{ат}}{Z_{др2} k_{\beta 2}} + (F_2 + F_{II2} + F_{III2}) V_{II \times 2}, \quad (38)$$

С учетом равенства  $Q_{K2} = V_{II \times 2} A_{II}$  эффективность вторичного регулирования скорости движения выходного звена будем оценивать КПД  $\eta_{II}$ :

$$\eta_{II} = \frac{F_2 V_{II \times 2}}{N_{K2}} = \frac{F_2 Z_{др2} k_{\beta 2}}{Q_{K2} A_{III}^2 / A_{II} \rho_{ат} + (F_2 + F_{II2} + F_{III2}) Z_{др2} k_{\beta 2}}, \quad (39)$$

где  $Q_{K2}$  – объемная подача компрессорной установки.

Ввиду сложности оценки  $k_{\beta 1}$  и  $k_{\beta 2}$ , в процессе эксперимента измерялись скорость движения выходного звена  $V_{\text{ПХ}}$ , объемная подача компрессорной установки и давление  $p_0$  на ее выходе. Результаты экспериментального исследования эффективности двух способов регулирования представлены в докладе.

#### **Список литературы**

1. Нагорный В.С., Денисов А.А. Устройства автоматики гидро – и пневмосистем. Учебное пособие для технических вузов, М. «Высшая школа», 1991, 367с.
2. Пильгунов В.Н., Ефремова К.Д. Физические основы пневмоавтоматики. Учебное пособие по курсу «Пневмопривод и пневмоавтоматика», издательство МГТУ, 2013, 20 стр.
3. Герц Е.В. Динамика пневматических систем, М., 1985, 255с.